

где  $\gamma$  — гиromагнитное отношение нейтрона. Решение уравнения (2) получено Ньютоном и Киттелем [3]. Нас интересует поведение проекции углового момента  $M_x$ . При  $t = \pi/\omega_0$  (поворот на  $180^\circ$ ) получим

$$M_x/M_0 = -(1+k^2)^{-1} [k^2 + \cos \pi (1+k^2)^{1/2}]. \quad (3)$$

Значение  $M_x/M_0$  как функция  $k = \omega_L/\omega_0$  показано на рисунке.

Величина  $\omega_0$  связана со скоростью нейтрона соотношением  $\omega_0 = \pi v/L$ , где  $L$  — длина спинового ротора. Как видно из рисунка, при  $k \geq 10$  нейтроны, имеющие скорости меньше некоторой критической ( $v_{kp} = \omega_L L / \pi k$ ), будут адиабатически изменять на-

правление своей поляризации на  $180^\circ$  без деполяризации.

Пользуясь случаем выразить благодарность Ю. П. Дмитревскому за полезные обсуждения.

Поступило в Редакцию 3/IV 1963 г.

## ЛИТЕРАТУРА

1. D. Hughes, M. Burgoy. Phys. Rev., 76, 1413 (1949); 81, 498 (1951).
2. O. Halpern. Phys. Rev., 59, 960 (1941).
3. R. Newton, C. Kittel. Phys. Rev., 74, 1604 (1948).

УДК 539.125.5:546.791.022.38.346.841

# Измерение сечений захвата нейронов с энергией 5—200 кэв для $U^{238}$ и $Th^{232}$

B. A. Толстиков, Л. Е. Шерман, Ю. Я. Стависский

В области энергий нейронов ниже 200 кэв экспериментальных данных по сечениям радиационного захвата нейронов  $U^{238}$  и  $Th^{232}$  мало. Учитывая большую практическую важность этих сечений, с целью уточнения хода сечений в указанной области энергий были проведены настоящие измерения.

Экспериментально измерялось отношение изучаемых сечений к сечению реакции  $B^{10}(n, \alpha)$ . В области энергий 1—200 кэв полагалось, что сечение реакции  $B^{10}(n, \alpha)$  изменяется по закону  $1/v$ . Образцы  $Th^{232}$ ,  $U^{238}$  и ионизационная камера со слоем  $B^{10}$  облучались совместно потоком быстрых нейронов. Наведенная  $\beta$ -активность в  $Th^{232}$  и  $U^{238}$  измерялась торцовыми  $\beta$ -счетчиками.

Отношение числа отсчетов  $\beta$ -счетчика и камеры пропорционально отношению сечений радиационного захвата нейронов  $Th^{232}$  (или  $U^{238}$ ) к сечению реакции  $B^{10}(n, \alpha)$ . Нормировка полученных кривых зависимости сечения радиационного захвата от энергии нейронов проводилась: для  $U^{238}$  при  $E_n = 24$  кэв (по данным работы [1], сечение захвата принималось равным  $568 \pm 57$  мбарн); для  $Th^{232}$  при  $E_n = 71,5$  кэв (по данным работы [2], которые были пересчитаны в связи с изменением опорных сечений, сечение захвата  $Th^{232}$  принималось равным  $390 \pm 59$  мбарн). В обоих случаях в результатах указана полная ошибка.

Измерения проводились на электростатическом ускорителе Van-de-Graafa с максимальной энергией 5 Мэв. В качестве источника нейронов использовалась реакция  $Li(p, n)$ , протекавшая на мишени из тонкого слоя  $LiF$ , который наносился путем распыления в вакууме на дно никелевого цилиндра с толщиной стенки меньше 0,15 мм. Слой воды, охлаждающий мишень, составлял 0,2 мм. Кольцевая камера со слоем  $B^{10}$  и кольцевые образцы урана (тория) располагались под углом  $91^\circ$  по отношению к направлению пучка ускоренных протонов. Образцы и камера закрывались слоем кадмия толщиной 0,5 мм. Перед облучением торий химическим путем очищался от продуктов естественного распада. Из очищенного тория изготавлялся контрольный образец, по которому контролировалось нарастание активности после очистки. Природный уран подвергался двойной химической очистке: перед облучением от продуктов естественного распада, после облучения от осколочной

активности. Перед измерениями, в процессе измерений и после выхода нейронов вблизи порога реакции  $Li(p, n)$  определялась толщина мишени. Нейроны регистрировались длинным счетчиком. Нормировка отсчетов счетчика проводилась по интегратору тока на мишени. При измерениях с ураном толщина мишени составляла 11,5 кэв, с торием 8 кэв.

Разброс энергий нейронов, облучающих образец, обусловлен конечными угловыми размерами образца и разбросом энергий протонов (за счет неравномерной толщины мишени). Разброс за счет толщины мишени составлял в среднем  $\pm 4$  и  $\pm 6$  кэв для  $Th^{232}$  и  $U^{238}$  соответственно. Разброс энергий нейронов, обусловленный конечными размерами образца, изменяется от  $\pm 1,5$  кэв при  $E_n = 5,5$  кэв до  $\pm 5$  кэв при  $E_n = 170$  кэв.

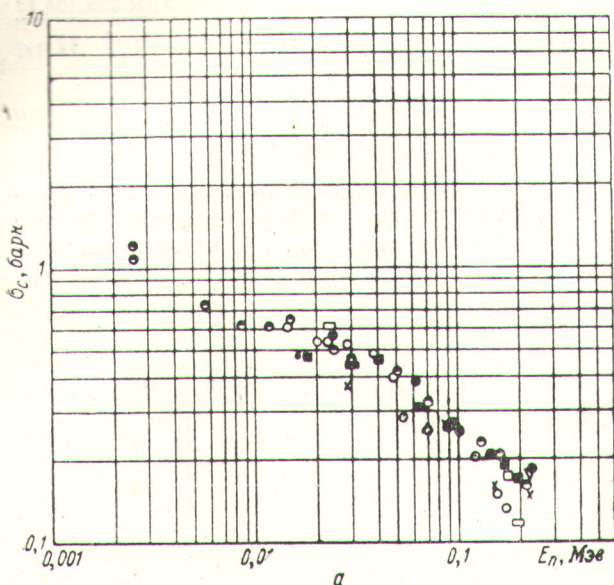
При обсуждении результатов проведенных измерений были приняты во внимание следующие обстоятельства.

1. Изменение соотношения между выходами обеих ветвей реакции  $B^{10}(n, \alpha)$  с изменением энергии нейронов. Основываясь на результатах работы [1], можно показать, что в исследованном диапазоне энергий нейронов эффективность камеры со слоем  $B^{10}$  за счет этого эффекта изменяется не более чем на 2%.

2. Вклад нейронов, рассеянных от стен измерительной камеры, в активацию образцов и в счет камеры с  $B^{10}$ . Этот вклад оценивался экспериментально и оказался менее 1%.

3. Особое внимание было удалено изучению вклада в счет борной камеры и активацию  $U^{238}$  и  $Th^{232}$  нейронов, рассеянных на подложке мишени и в материалах конструкции мишени. Для уменьшения рассеянных нейронов вся мишень была сделана максимально облегченной.

Экспериментально определение вклада рассеянных нейронов производилось следующим образом. Мишень из  $LiF$  облучалась протонами с такой энергией, чтобы угол раскрытия конуса вылета нейронов был меньше  $90^\circ$ . При этом борная камера и образцы исследуемых материалов облучались только рассеянными на подложке мишени нейронами. Нормировка на поток нейронов производилась по всеволновому счетчику, расположенному под углом  $0^\circ$  по отношению к



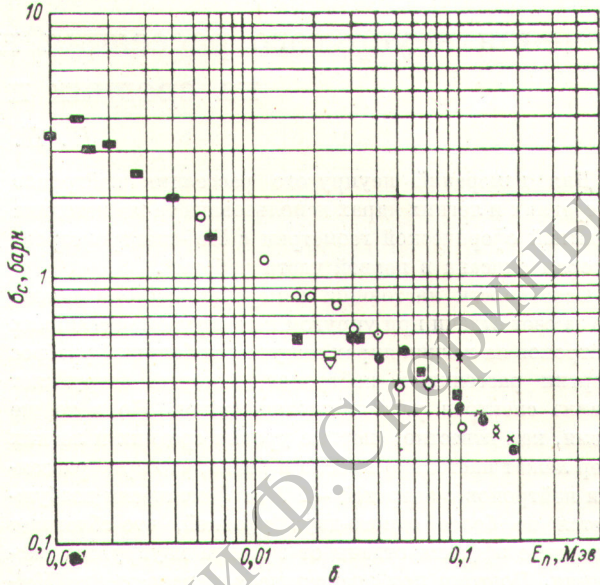
Зависимость сечения радиационного захвата  $U^{238}$  (а) и  $Th^{232}$  (б) от энергии нейтронов.

Данные работ: ○ — настоящей; ● — [2]; ■ — [3]; ▽ — [4]; □ — [5, 10]; ○ — [6]; □ — [7]; × — [8]; ■ — [9].

направлению протонного пучка. По полученным данным рассчитывали вклад рассеянных нейтронов в изучаемом диапазоне энергии. Вклады рассеянных нейтронов в счет борной камеры и активацию урана (тория) оказались почти одинаковыми, а по абсолютному значению составляли не более чем 5,5%. Так как для нахождения кривой энергетической зависимости сечения радиационного захвата от энергии нейтронов экспериментально определялось отношение числа отсчетов  $\beta$ -счетчика, измеряющего наведенную активность  $U^{238}$  ( $Th^{232}$ ), к числу отсчетов ионизационной камеры, то влияние рассеянных нейтронов на результаты измерений мало и лежит в пределах ошибок измерений.

На приведенном рисунке результаты измерений сравниваются с данными других авторов.

Из сравнения полученных сечений для  $U^{238}$  с результатами работ других авторов видно, что они находятся в согласии. Из общей плавной энергетической зависимости сечения выпадает точка при 54 кэв; она лежит примерно на 20% ниже работ других авторов. Несколько заниженными по сравнению с другими работами кажутся результаты при 171 и 158 кэв. Сечение радиационного захвата  $Th^{232}$  при уменьшении энергии нейтронов плавно спадает. Данные работ [3—5] и [4—6] при энергиях 17 и 24 кэв соответственно лежат примерно на 30% ниже результатов настоящих измерений.



Авторы благодарят А. И. Лейпунского и О. Д. Ка-  
зачковского за внимание к данной работе.

Поступило в Редакцию 21/II 1963 г.

#### ЛИТЕРАТУРА

1. Т. С. Беланова. «Атомная энергия», 8, 549 (1960).
2. Ю. Я. Стависский, В. А. Толстиков. «Атомная энергия», 10, 508 (1961).
3. D. Hughes, R. Schwartz. Neutron Cross Sections. N. Y., 1959.
4. Т. С. Беланова. Диссертация, 1960.
5. R. Macklin, N. Lazar, W. Lyon. Phys. Rev., 107, 15 (1957).
6. C. Birlsich, Z. Weston, H. Hewson. Annal. Physics, 10, 455 (1960).
7. Б. Дайвен. В кн. «Труды Второй международной конференции по мирному использованию атомной энергии». Избр. докл. иностр. ученых. Т. 2. М., Атомиздат, 1959, стр. 233.
8. R. Hanna, B. Ross. J. Nucl. Energy, 8, 197 (1959).
9. S. Giffath, D. Okrent, P. Moldauer. Fast Reactor Cross Sections. ANL, 1960.
10. W. Lyon, R. Macklin. Phys. Rev., 114, No. 4, 1619 (1959).
11. H. Bichsel et al. Phys. Rev., 81, 456 (1951).